

## Bi系化合物 半導體에 依한 热電發電

(Thermoelectric Power Generation by Bi Alloy Semiconductors)

朴 昌 煉\*

(Park, Chang Yub)

## 要 約

이 热電發電器는 Bi系化合物 半導體 Sb, Te, 및 소량의 不純物을 含有한 ZnSb를 사용하여 實驗한것으로 热起電力  $\alpha$ , 比抵抗  $\rho$ , 热傳導率  $k$  및 高溫部와 低溫部의 温度差量 測定하였다. 特性은 다른 材料를 使用한 热電發電器보다 Sb, Te, + Bi, Se, 와 Bi, Te, + Sb, Te, 를 素子로 사용한 경우 效率이 우수하였으며 이의 效率은 1.42%였다.

## ABSTRACT

This thermoelectric generator devices have been determined for bismuth alloys, Sb,Te, and ZnSb containing small amounts of doping materials. The thermoelectric matermoelectric power;  $\alpha$ , resistivity;  $\rho$ , heatconduction;  $k$ , and temperature difference between cold and hot junction was measured. Generator consisting both Bi,Te, + Bi,Se, and Bi,Te, + Sb,Te, is better efficient than others containing another thermocouple materials. Its efficiency is 1.42%.

## I. 序 論

c) 直接發電은 热電發電으로 宇宙用 및 衛星에 主로 使用하고 있으며 地上用으로도 論은 研究가 進行되고 있다. 그려나 集熱型發電器는 太陽熱을 利用할수도 있으나 큰 热源을 利用하여 發電할수 있는 것으로 앞으로 이에 使用할 材料開發이 興味있는 分野라하겠다. e) 热電發電은 두種의 다른 金屬을 갖는 回路兩端의 温度를 다르게 할때 热起電力이 發生하고 여기에 使用하는 材料에 따라 그 效率이 다르며 金屬代身 半導體를 使用하는것이 가장 效果的이라는 事實이 알려져 있다<sup>(1) (2) (3) (4)</sup>. 故로 e) 實驗에서는 Bi化物 半導體 즉 Bi<sub>2</sub>Te<sub>3</sub>, Bi<sub>2</sub>Te<sub>3</sub>, Bi<sub>2</sub>Sb, ZnSbBi, Bi<sub>2</sub>Se<sub>3</sub>Sb<sub>2</sub>Te<sub>3</sub>와 같은 半導體를 單結晶 成長시켜 이를

의 電氣的인 特性을 調査하고 이를 利用한 發電裝置를 만들어 Ni-Cr線히터에 依한 热을 發電器의 레시버(Receiver)에 加하여 發電特性 및 效果를 調査하고자 한다.

## II. 動作理論

溫度勾配에 依하여 電子는 그림1과 같이 흐르고 電子가 이와같은 狀態로 存在하는 率은 溫度에 依하여 變하지만 펠미 디아랙(Fermi Dirac)의 分布法則에 따르며 電子가 에너지 E인 狀態를 갖는 率f는

$$f = \frac{1}{\exp\left(\frac{\epsilon - \epsilon_f}{KT}\right) + 1} \quad (1)$$

과 같다. 여기서 K는 볼트만 定數이고  $\epsilon_f$ 는 펠미 準位이다. 高溫側에서 傳導帶內의 準位가 갖는 率이 增加할수록 더 많은 도나(Donor)가 이온화된다. 따라서 傳導帶內의 電子의 濃度는 高溫

\*延世 理工大 電氣工學科

Dept. of Elect. Engr. Yonsei Univ.

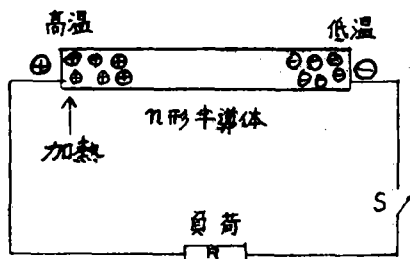


그림1 n形半導體에 생기는 热起電力과 回路

Fig 1 Thermoelectric power and its circuit for n type semiconductor

側이 크고 低溫側이 적으므로 高溫側에서 低溫側을 向하여 電子의 擴散이 생긴다. 이結果 高溫側은 이온화된 도나에 依하여 正으로 低溫側은 擴散된 電子에 依하여 負로 帶電되고 電子를 低溫側에서 高溫側으로 둘려보내는 電界가 생겨 定常狀態에서 擴散에 依한 電子와 꼭같이 逆方向으로 電子가 흐르는 現象이 생긴다. 즉 兩端에 생기는 電位差와 ペルミ準位의 溫度에 依한 變化分의 合이 热起電力이 된다. 그림2와 같은 热電回路에서 半導體와 導線의 热傳導率은 微少하나 實際로 이를 無視할수 없고 高溫側에 加한 热이 導線을 通하여 發散한다. 이를 防止하

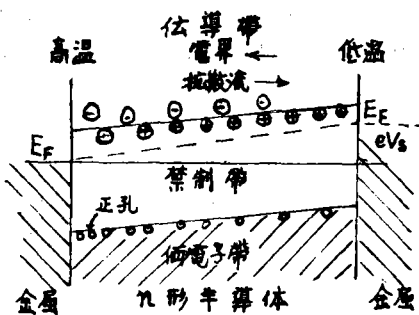


그림2 n形半導體의 電子에너지狀態의 溫度에 따른 變化圖

Fig 2 Variety on temperature of electron energy distribution for n type

기 위하여 그림3과 같이 N形 및 P形 半導體를 對(Couple)로 金屬板에 π型으로 接合하고 導線을 低溫側에 連結한다. P形 半導體의 热起電力

은 N形의 热起電力과 方向이 反對이므로 그림3에서의 起電力은 增加하여 兩種의 半導體는 電氣的으로는 直列이고 热的으로는 並列接續이다. 이때 溫度差  $\Delta T = T_h - T_c$  가 를 때 热起電力은  $V_t = \int_{T_c}^{T_h} \alpha(T) dT$  가 된다. 半導體의 側面에서 热出入이 없다고 보고 (眞空에서) 定常狀態에서의 發電動作만 생각한다

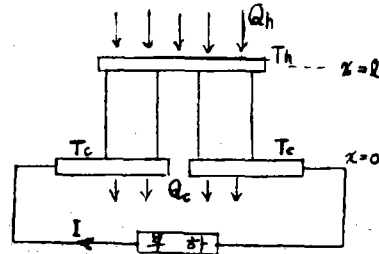


그림3 热電發電器의 模型

Fig 3 Model of thermoelectric generator

定常狀態에서 高溫, 低溫의 兩接合部에서의 에너지出入은 高導部에서 보아

$$Qh = \{\alpha p(T_h) - \alpha n(T_h)\} T_h + kp(T_h) A p$$

$$\left( \frac{dT}{dx} \right)_{z=1} + k_n(T_c) A n \left( \frac{dT}{dx} \right)_{z=1} \quad (2)$$

가된다 여기서 A는 斷面積, k는 热傳導率이다. 一項은 ペルティ어 效果에 依한 吸熱이고 二項 三項은 热傳導에 依하여 接合部에서 兩回路로 흐르는 热流이다.  $Qh$ 를 求하기 위하여 高溫接合部에서  $X=l$  때 溫度勾配  $\frac{dT}{dx}$ 를 求한다.

$$A_{p,n} \frac{d}{dx} \left( k_{p,n} \frac{dT}{dx} \right) + I^2 \rho_{p,n} / A_{p,n} \pm I \tau_{p,n} \frac{dT}{dx} = 0 \quad (3)$$

인 热傳導의 方程式에서 境界條件  $x=0$  때  $T=T_c$ ,  $x=l$  때  $T=T_h$ 에서 解를 求한다. 여기서  $\rho$ 는 比抵抗, 二項은 蒸熱 三項은 特손(Thomson)熱이다. 電流密度  $I/A = i$ 라 두고  $\frac{dT}{dx}$ 를 求하면

$$\frac{dT}{dx} = e \pm i \left[ \frac{\tau}{k} dx \right] \left\{ -i^2 \int \frac{\rho}{k} e \pm \int \frac{\tau}{k} dx \right\} \quad (4)$$

가되고 이의 解는  $\tau, \rho, \kappa$ 가 溫度에 따라 一定하다고 가정하면 (4)式의 解는

$$\left(\frac{dT}{dx}\right)_{x=l} = \frac{T_h - T_c \pm \frac{i\rho}{\tau} \ell}{1 \mp e^{-\frac{i\tau}{k} \ell}} \frac{i\tau}{k} \pm \frac{i\rho}{\tau} \quad (5)$$

여기서  $\tau$ 는 톰슨계수이다.

$\frac{i\tau}{k} \ell$ 는 微小이므로 생략하면

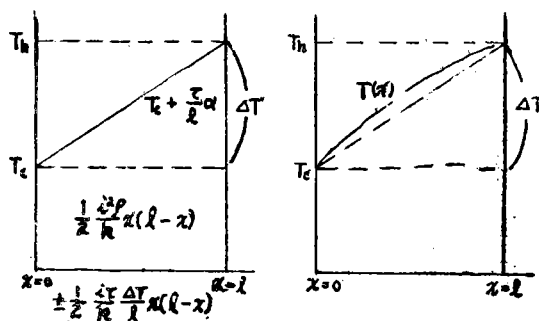
$$\left(\frac{dT}{dx}\right)_{x=0} = \frac{T_h - T_c}{\ell} \pm \frac{1}{2} \frac{i\tau}{k} (T_h T_c) - \frac{1}{2} \frac{i^2 \rho}{k} \ell \quad (6)$$

이 는

$$T = T_c + \frac{\Delta T}{\ell} X \mp \frac{1}{2} \frac{i\tau}{k} \frac{\Delta T}{\ell} x (\ell - x) + \frac{1}{2} \frac{i^2 \rho}{k} x (\ell - x) \quad (7)$$

이 관계를 그림으로 표시하면 그림 4와 같이 된다. (2)式에 (6)式을 대입하면

$$Qh = \{(\alpha_p (Th) - \frac{1}{2} \tau_p \Delta T / T) - (\alpha_n (Th) - \frac{1}{2} \tau_n \Delta T / T)\} T_h I + (k_p A_p + A_n k_n) \Delta T / \ell - \frac{1}{2} (\rho_p / A_p + \rho_n / A_n) \ell l^2 \quad (8)$$



Heat component      additional heat  
(a) 各成分의 分解圖      (b) 合成圖

그림 4 热과 톨슨熱에 依한 温度分布의 變化  
Fig 4 Temperature distribution by Joule Heat and Thomson Heat

톰슨熱의 영향은 시비(Seebeck)效果에 依하여

$$\alpha = \alpha(T_h) - \frac{1}{2} \tau \frac{\Delta T}{T} \quad (9)$$

과 같고 傳導에 依한 热의 流出은 温度差  $\Delta T$ 를  
길이  $\ell$ 로 나눈값  $\frac{\Delta T}{\ell}$ 에 依한다.

다음 發電器의 出力電力 W는 起電力を E라  
할때

$$E = \int_{T_c}^{T_h} \{\alpha p(T) - \alpha_n(T)\} dT \quad (10)$$

이 고

電流 I는

$$I = \frac{E}{R+r} = \frac{E}{R + \{(\rho_p/A_p) + (\rho_n/A_n)\} \ell} \quad (11)$$

여기서 R는 負荷抵抗이고 r은 試料의 抵抗  
이다.  $\rho$ 가 溫度에 따라 變한다면

$$\tau = \int_{T_c}^{T_h} (\rho_p(T)/Ap + \rho_n(T)/An) \frac{dx}{dT} dT \text{로 求 한다.}$$

$$\text{負荷抵抗 } R = mr \quad (12)$$

(9)式의  $\alpha$ 를 使用하여

$$E = (\alpha_p - \alpha_n) \Delta T \quad (13)$$

따라서

$$W = \frac{(\alpha_p - \alpha_n)^2 \Delta T^2 m}{r(m+1)^2} \quad (14)$$

가된다.

(8)式과 (14)式을 利用하여 效率  $\eta$ 를 求하면

$$\eta = \frac{W}{Q_h} = \frac{(\alpha_p - \alpha_n)^2 \Delta T^2 \frac{m}{r(m+1)^2}}{(\alpha_p - \alpha_n) T_h \Delta T \frac{1}{r(m+1)} + k \Delta T} + \frac{(\alpha_p - \alpha_n)^2 \Delta T^2}{2r(m+1)^2} \quad (15)$$

$$k = (k_p A_p + k_n A_n) / \ell \quad (16)$$

(15)式에서 效率  $\eta$ 는 兩接合部의 溫度와 抵抗  
比 m에 依하여 决定되나 (16)式은

$$\eta = \frac{\Delta T}{T_h} \cdot \frac{\frac{m}{m+1}}{1 + \frac{kr}{(\alpha_p - \alpha_n)^2} \cdot \frac{m+1}{T_h} - \frac{\Delta T}{z(m+1)T_h}} \quad (17)$$

이 式에서  $k=r=0$  m  $\rightarrow \infty$  이면 損失係數는 1이 되고 (17)式은 物質定數  $\alpha, \kappa, \gamma$ 를

$$Z = \frac{(\alpha_p - \alpha_n)^2}{kr} \text{의 形으로 만들면 效率 } \eta$$

는 Z의 函數이다. 따라서 kr를 最小로 하면 Z는  
最大로 할수있다.

$$\therefore kr = (k_p A_p + k_n A_n) \left( \frac{\rho_p}{A_p} + \frac{\rho_n}{A_n} \right)$$

$$= (\sqrt{k_p \rho_p} + \sqrt{k_n \rho_n})^2 + \left( \sqrt{k_p \rho_p \frac{A_p}{A_n}} - \sqrt{k_n \rho_n \frac{A_n}{A_p}} \right)^2 \text{이므로}$$

$$\frac{\rho_p}{k_p} \cdot \frac{k_n}{p_n} = \left( \frac{A_p}{A_n} \right)^2 \quad (18)$$

일 때  $kr = (\sqrt{k_p \rho_p} + \sqrt{k_n \rho_n})^2$ 로서 最小가된다.

(17)式을  $m$ 에 對하여 微分하여 極大를 求하면

$$(m)_{opt} = M = \sqrt{1 + \frac{1}{2} Z(T_h + T_c)} \quad (19)$$

이 때

$$\text{efficiency } \eta = \frac{\Delta T}{T_h} \cdot \frac{M-1}{M + \frac{T_c}{T_h}} \quad (20)$$

로서 極大가된다. (5) 또한 低溫接合部를 水冷却하여  $T_c$ 를 一定하게 하고  $T_h$ 를 크게하면 (19)式에서  $M$ 가 크게되고 效率  $\eta$ 가 커진다. 다음 體積을 적계하는 問題에 關하여 살펴보면 體積  $V$ 는

$V = (A_p + A_n) \ell$ 로 表示할 수 있고 單位體積當의 出力은

$$\frac{W}{V} = \frac{k\rho}{\ell^2} \cdot \frac{mz}{(m+1)^2} - \Delta T^2 \left[ \frac{\left(1 + \sqrt{\frac{k_n \rho_n}{k_p \rho_p}}\right)^2 \frac{A_n}{A_p}}{\left(1 + \frac{A_n}{A_p}\right) \left(\frac{\rho_n}{\rho_p} + \frac{A_n}{A_p}\right)} \right] \quad (21)$$

이 고

$$\frac{A_n}{A_p} = \sqrt{\frac{\rho_n}{\rho_p}} \quad (22)$$

인 比를 定하면  $\frac{W}{V}$ 는 極大가 된다. 따라서 最大出力を 얻는 條件  $m=1$ 을 代入하면

$$\left( \frac{W}{V} \right)_{max} = \frac{1}{4} \cdot \frac{k\rho}{\ell^2} Z \Delta T^2 \left[ \frac{1 + \sqrt{\frac{k_n \rho_n}{k_p \rho_p}}}{1 + \sqrt{\frac{\rho_n}{\rho_p}}} \right]^2 \quad (23)$$

이 된다. 따라서

素子의 길이  $\ell$ 를 적계하는것이 體積當의 出力を 크게하는 것으로 가장 적당한 값은 (22)式과 같다.

## III. 實驗 및 結果

### 熱電發電素子의 成長

高純度의 Bi, Sb, Zn, Ag, Sn, Te (Bi, Sb, Ag, Te, Zn 99.999% Sn는 99.999%의 純度를 갖는 것임)를 적당한 크기로 불순물이 들어가지 않도록 注意하면서 깨트린 후 무게를 正確히 秤量하고 窒酸으로 깨끗하게 씻은 바이카(Vycor) 유리

관에 넣어  $10^{-6}$ mmhg인 真空度로 密閉시켜 스토크바거(Stockbarger) 電氣爐와 帶域溶解法으로 試料를 만들었다. 이때 유리관의 規格은 P形半導體는 두께를 1mm, 直徑이 11mm이고 N形은 두께 1mm로 直徑은 8mm인 유리관을 사용하였다. 또한 이 實驗에 使用한 스토크바거 電氣爐는 溫度를 一定히 하기위하여 主副의 두 热線을 만들어 主熱線은 언제나 一定電壓을 걸어두고 副熱線은 溫度調整器를 通하게 하여  $1^{\circ}\text{C}$ 의 溫度差를 갖도록 만들었고 帶域溶融爐는 帶域幅이 4.5cm 帶域間의 距離가 4.5cm로 이들 電氣爐의 特性은 그림5 (a) (b)와 같다.

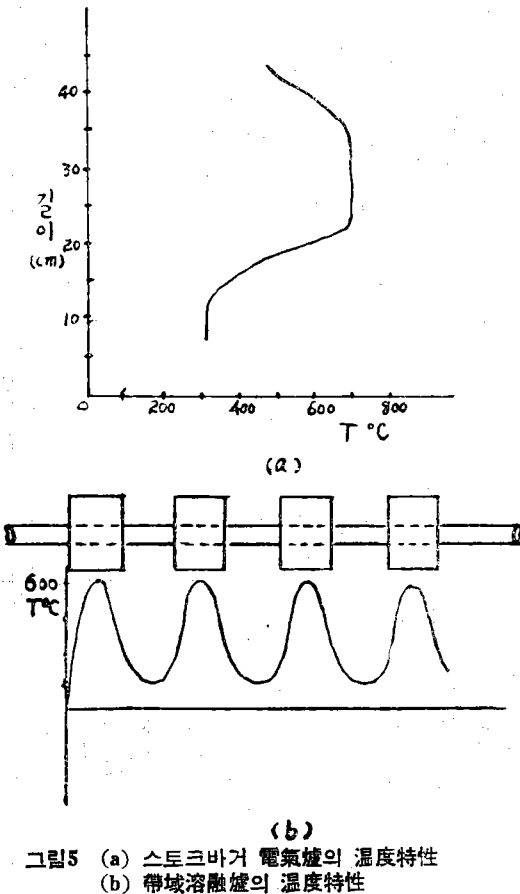


그림5 (a) 스토크바거 電氣爐의 溫度特性  
(b) 帶域溶融爐의 溫度特性

Fig5 (a) Characteristic of stockbarger furnace.  
(b) Characteristic of ZnSb melting furnace.

BiTe系의 p形 n形素子의 成長(7) 成分配合을 다르게하여 바이카 유리관에 真空密閉하고 이를 그림5(a)와 같은 溫度를 維持하는 爐속에 넣고 6時間 加熱하여 完全 化合되게 한後에 8mm/hr의

速度로 單結晶을 成長시켰다.

### ZnSb 素子의 成長

ZnSb는 p形 半導體로 成分은  $40\text{Zn} + 60\text{Sb}$ 인重量率로 正確히 무게를 秤量하여 바이카 유리관에 真空 封入한다. 이를 溶較溫度  $566^{\circ}\text{C}$  보다 낮은  $500^{\circ}\text{C}$ 以下의 共晶溫度에서 24時間 그림5(a)와 같은 爐속에 넣어서 加熱시켜 完全化合되한 후 帶域溶融法으로 그림 5(b)와 같은 特性을 갖는 爐속에 넣어 1時間에 8mm로 移動시켜 길이 6cm인 試料를 만들었다. 그러나 이렇게 만든 半導體는 대단히 부서러지기 쉬운 試料가 되었다 故로 热電材料로서는 적당치 않으므로 이를 막기 위하여 Ag를 0.1% Sn를 1.5% 첨가하여 다시 單結晶을 成長시켰다.

### BiSbSn 및 BiSb素子의 成長

BiSbSn는 p形素子로 成分配合은  $86.7\text{Bi} + 8.65\text{Sb} + 4.75\text{Sn}$ 이고 BiSb는 n形 半導體로 成分은  $91\text{Bi} + 9\text{Sb}$ 로 무게를 正確히 測定한 후 스토크 바거 電氣爐를 使用하여 그림5(a)와 같은 溫度特性을 갖는 爐의 最大溫度를  $300^{\circ}\text{C}$ 로 만들어 이 試料를 6時間 加熱한다. 完全히 化合되면 8mm/hr의 速度로 試料를 下向시키면서 單結晶을 成長시켜 n形은 길이가 8m, p形은 6cm의 武料를 얻었다.

## IV. 電氣的特性 測定

위에서 만든 BiTe系 ZnSb BiSbSn, BiSb를 길이 1.5cm 直徑이 0.6cm되게 절단하여 兩端을 곱게 研磨한 후 ZnSb는  $405^{\circ}\text{C}$ 에서 BiSnSb, BiSb는  $150^{\circ}\text{C}$ 에서 12時間 씩 热處理하였다.

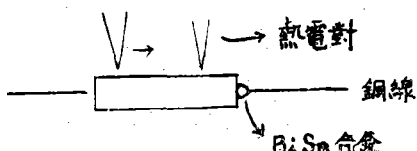


그림6 特성을 측정하기 為한 도선의 접속  
Fig 6 Ohmic contact for measurement

特性을 测定하기 위하여 試料의 兩端에 그림6과 같이 BiSn을 솔다 (Solder)로 하고  $\text{H}_2\text{SO}_4\text{HC}$ 을 혼합한 것을 푸락스 (Flux)로 銅線을 오믹접속하여 電流端子를 만들고 같은 方法으로 아르메루 크롬엔을 热傳對로 試料에 용접시켰다. 特性

特定 方法으로는 微少直流 및 微少交流를 通하여 吸熱 및 發熱때문에 생기는 溫度差  $T_h - T_c$  및 試料間의 電壓降下, 電流를 조사하여 特성을 구할수 있는 가장 간편한 方法인 하만(Harman)의 Z測定方法(6)을 利用하여 真空度를  $10^{-6}\text{mmHg}$ 로 維持하면서 比抵抗, 热起力 및 热傳導率을求한 結果는 다음 表와 같다.

		30°C	100°C	200°C
ZnSb	$\rho$ (영치리암 음불순물 비첨가)	0.009	0.0095	0.0098
	$\rho$ (영치리암 한경우)	0.003	0.0035	0.0034
$\text{ZnSb}$ ( $\text{S}_{\text{n}}\text{AgB}_i$ )	$\rho$	0.002	0.0022	0.0025
	$\alpha$	210	225	230
	$k$	0.002	0.019	0.018
$\text{Bi}_3\text{T}_{\text{e}_3}$	$\rho$	$1.18 \times 10^{-3}$	$1.1 \times 10^{-3}$	$1 \times 10^{-4}$
	$\alpha$	228		
	$k$	$9 \times 10^{-3}$		
$\text{Bi}_3\text{T}_{\text{e}_3}$	$\rho$	$2.6 \times 10^{-3}$	$2.65 \times 10^{-3}$	$2.7 \times 10^{-3}$
	$\alpha$	206		
	$k$	$1.1 \times 10^{-3}$		
$\text{Bi}_3\text{T}_{\text{e}_3} +$ $\text{Bi}_3\text{S}_{\text{e}_3}$	$\rho$	0.0245		
	$\alpha$	100		
	$k$	0.0073		
$\text{Bi}_3\text{T}_{\text{e}_3} +$ $\text{Sb}_3\text{T}_{\text{e}_3}$	$\rho$	0.0005		
	$\alpha$	120		
	$k$	0.023		

여기서  $\rho$ : 比抵抗 [ $\Omega\text{-cm}$ ]     $\alpha$ : 热起電力 [ $\mu\text{V}/\text{T}^{\circ}\text{C}$ ]

$k$ : 热傳導率 [ $\text{W}/\text{cm}^2\text{°C}$ ]

特性測定에서 ZnSb는 부스러지기 쉽고 比抵抗이 상당히 크므로 Ag, Sn을 微小量混合하여 再結晶시킨結果 부스러지는 것은 防止하였으나 比抵抗은 여전히 크므로 Bi를 5% 加한結果 比抵抗은 상당히 減少하는 利點이 있으나 热起電力이 약간 減少하였다. 이 關係를 그림7, 8에서 알 수 있다. 試料를 만들때 真空度를  $10^{-3}\text{mmHg}$  (日本真空技術株式會社 製 ionization guage tube와 Japan Vacuum Engineering Co. 製인 測定器 G1-T로 測定)로 한 結果  $10^{-6}\text{mmHg}$ 로 單結晶한 것보다 比抵抗이 增加되었다. 이는 酸化에 기인

한것으로 믿는다.

ZnSb의 試料를 热處理할때와 안할때는 그림8과 같이 差가 있었다.

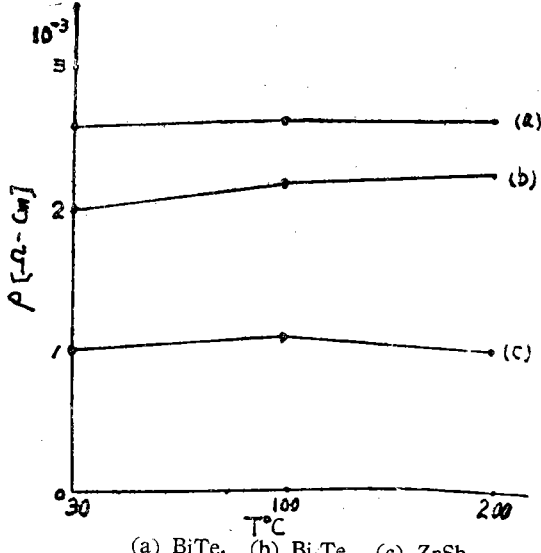


그림7 温度에 따른 比抵抗  
Fig 7 Resistivity on temperature

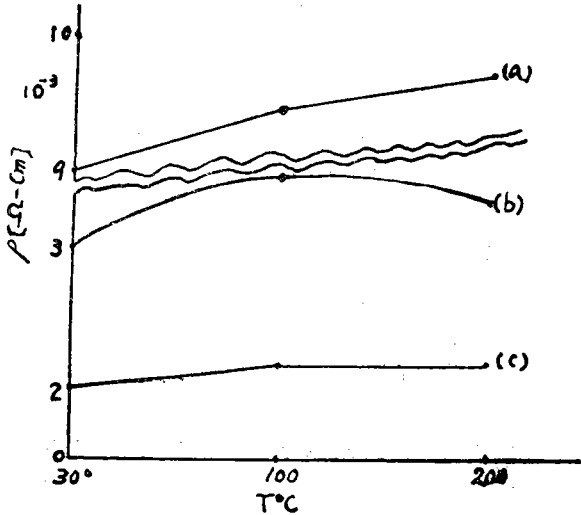


그림8 ZnSb 温度變化에 依한 比抵抗 特性  
Fig 8 Resistivity of ZnSb on temperature

#### 熱電發電器의 製作과 特性試驗

發電器의 래시버 (Receiver)는 크기가 가로 3.5cm 세로 2cm 두께 0.5cm인 銅板을 그림9와 같이 發電素子 P形 및 N形을 接触시키고

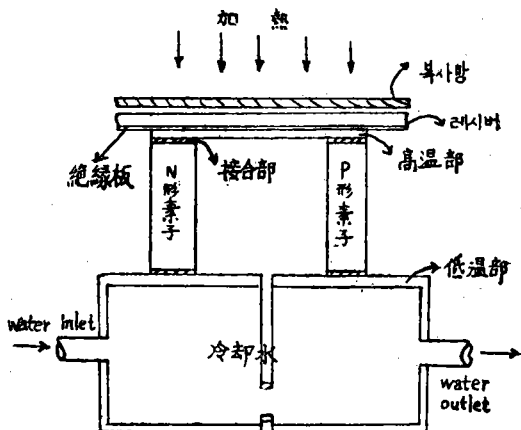


그림9 热電發電器  
Fig 9 Thermoelectric generator

放熱部는 길이 6.6cm 폭 3cm 높이가 1.6cm인 4角筒으로 하고 물로 冷却할수 있도록 真경이 0.4cm인 銅管(pipe)을 용접시켜서 發電裝置를 만들었다.

$\text{Bi}_2\text{Te}_3$  및  $\text{Bi}_1\text{Te}_2$ 의 接觸은  $\text{BiSn}$ 을 솔다로 하고 푸락스를 사용하여 銅板을 加熱한 후 素子를 접촉시켰다. ZnSb素子의 용접은 Sn을 용접部分에 입히고 순수한 Sn을 솔다로 접촉저항이 없도록 될수록 완전하게 접촉시켰다. 솔다를 많이 사용하면 素子와 並列이 되기 쉬우므로 될수록 솔다를 적게 사용하였고 솔다의 용점이 낮으면 접합 (Junction)이 加熱될때 솔다가 약해져서 接合이 分離되므로 이를 막기 위하여 半導體를 接合할部分에 Bi로 銅板래시버에 미리 30kc 100w인 초음파 발진기로 코팅 (coating)을 하였다. 이 래시버는 Bi의 용점 271°C 以上으로 加熱하여 半導體를 접착시켰다. 이렇게 만든 裝置에 열차폐용으로 高溫部와 低温部間に 포리솔 합성수지를 사용하였고 래시버 銅板은 쉽게 산화되므로 흑연

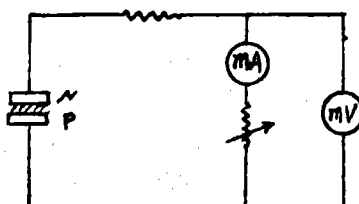


그림10 特性測定等價回路  
Fig 10 Equivalent circuit for characteristics measurement.

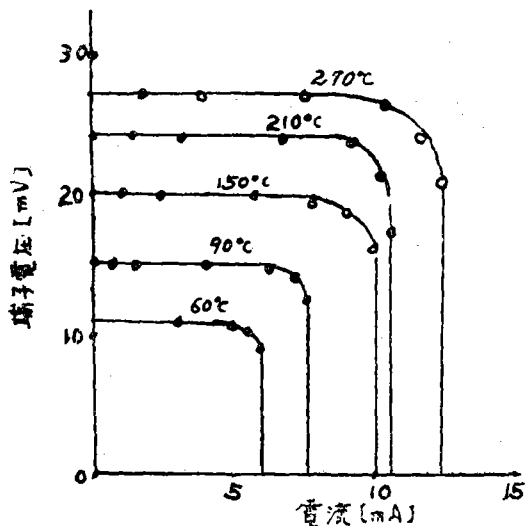
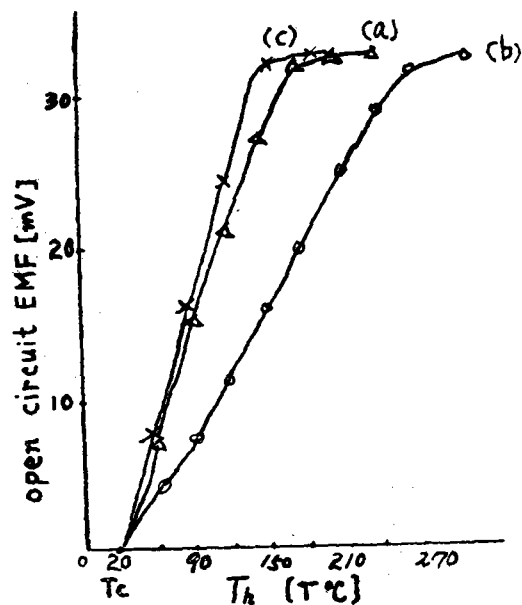
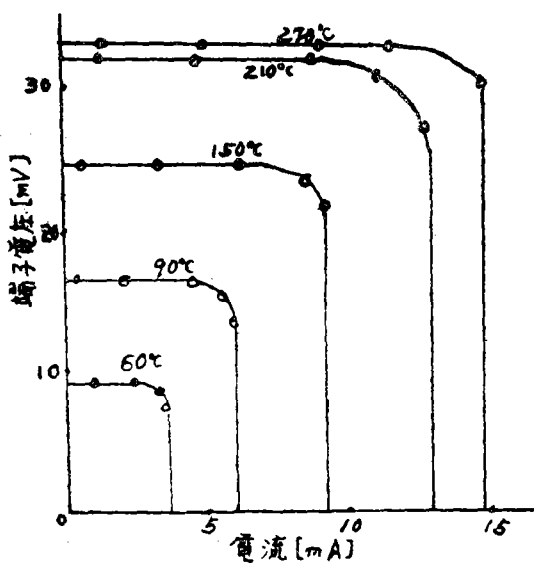
a = Bi<sub>2</sub>Te<sub>3</sub>, Bi<sub>2</sub>Te<sub>3</sub>, b = ZnSbBiTe, c = Bi<sub>2</sub>Se<sub>3</sub>, Sb<sub>2</sub>Te<sub>3</sub>

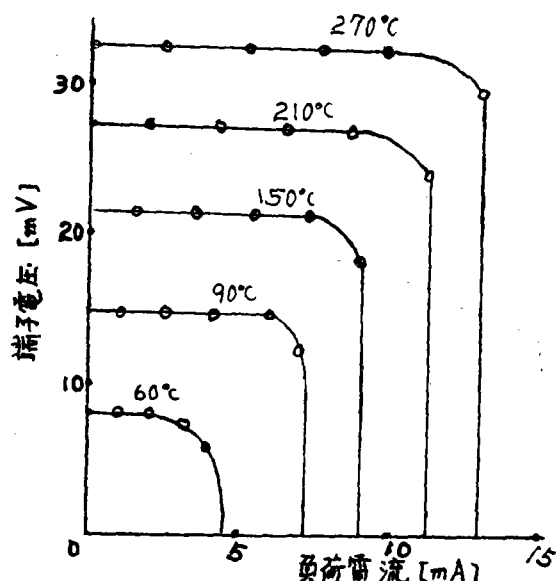
그림11開放回路의特性

Fig11 Characteristics of No load

그림13 ZnSb Bi<sub>2</sub>Te<sub>3</sub>를 이용한發電裝置의 V-I特性Fig13 V-ICurve of the Geerator using ZnSb and Bi<sub>2</sub>Te<sub>3</sub>그림12 Bi<sub>2</sub>Te<sub>3</sub> 및 Bi<sub>2</sub>Te<sub>3</sub>를 이용한發電裝置의 V-I特性Fig12 V-ICurve of the Generator using Bi<sub>2</sub>Te<sub>3</sub> and Bi<sub>2</sub>Te<sub>3</sub>

으로 점계 칠하였다. 이렇게 만든熱電發電器는低溫接合部를 20°C로 계속水冷却하여溫度를一定히하고高溫接合部의溫度를上升시키면서特성을 구한結果는 그림 10. 11. 12와 같다.

熱電發電器의 出力特性은 그림11과 같이 V-I

그림14 Bi<sub>2</sub>Se<sub>3</sub>, Sb<sub>2</sub>Te<sub>3</sub>를 이용한發電裝置의 V-I特性Fig14 V-ICurve of the Generator using Bi<sub>2</sub>Se<sub>3</sub> and Sb<sub>2</sub>Te<sub>3</sub>

曲線으로表示하였고 短絡時의 電流와 最適負荷抵抗을 알수있다. 효율은  $\frac{W_o}{W_i}$ 로서 1.42%이다.

## V. 結 論

單結晶 成長時에 不純物이 含有된 까닭인지 電氣的 特性이 別로 우수하지는 않으나 發電特性은  $\text{Bi}_2\text{Te}_3 + \text{Bi}_2\text{Se}_3$ 인 N形과  $\text{Bi}_2\text{Te}_3 + \text{Sb}_2\text{Te}_3$ 인 p形半導體를 使用한 發電器가 가장 우수한 特性을 갖었다. 素子의 齊기에 따라서는 電流가 變하지 않았고 高溫에 도달할수록 發電特性은 低下하였다. 270°C 程度에서 接合部가 分離되어 그 以上的 熱을 加할수 없었고 한 素子群에 對하여 32.3mV를 發生하였으나 素子는 電氣的으로는 直列이고 热的으로는 並列이므로 이 素子對를 踏이 사용한다면 素子對에 比例하여 높은 電壓을 얻을수 있을것이나 이 實驗은 좀더 지속 해보겠다. 또 効率은 理論的으로는 式19 式20에서 1.8

%이나 實驗으로서는 1.42%였다. 効率도 電壓發生과 同一하게 素子群에 따라 向上되리라 믿는다. 接合에 사용한 솔다는 Bi, BiSn 및 Sn을 사용하였으나 高溫에서 견디는 材料를 開發해야만 완전한 發電器로 사용할수 있을것이다.

### 참고 문헌

- (1) P.H.Figli, Thermoelectricity, John Wiley & sons 1950
- (2) F.D.Rossi, Semiconducting Materials for thermoelectric power Generation, RCA Rev 22(1) 1961
- (3) 管義夫, 热電半導體
- (4) 渡邊寧, 半導體ハンドブックオーム社 1963
- (5) 上村欣 太陽電池 热電發電 日刊工業新聞社
- (6) T.C.Harman Measurement of Thermal conductivity by Utilization of the Peltier Effect, Jour, Appl, phys, 30. (9) 1959 1351
- (7) 朴昌輝 A Study of Thermoelectric Heat pump